

АВТОМАТИЗАЦИЯ ТЕХНОЛОГИЧЕСКОГО ПРОЦЕССА НАКАТЫВАНИЯ НАРУЖНЫХ РЕЗЬБОВЫХ ПРОФИЛЕЙ

Алексеев И.А.

Україна, Днепродзержинський государственный
технический университет

Накатывание по сравнению с другими методами изготовления резьб обладает рядом преимуществ и, в частности, по сравнению с нарезанием позволяет уменьшить трудоемкость до 10 раз, увеличить коэффициент использования металла и повысить реальную прочность деталей за счет наклела, ориентированного расположения несовершенств строения структуры и создания благоприятной системы остаточных напряжений [1]. Все способы накатывания основаны на использовании пластических свойств металла заготовки и заключаются в последовательном перенесении профиля накатного инструмента на деталь.

Характер напряженно-деформированного состояния заготовки (в пределах длины контакта с роликами) в значительной степени определяется конечными условиями формирования резьбы. Возможны два случая: вершины витков накатываемой резьбы не достигают впадин витков роликов (рис.1), или накатываемая часть заготовки обжимается роликами (контактирует) по всей поверхности - накатывание в заполненном контуре. Как правило, параметры процесса накатки выбирают таким образом, что формирование профиля происходит последовательно в несколько этапов: накатка в незаполненных контурах, накатка в заполненных контурах и калибрование. Практически, было установлено, что наиболее благоприятным, с точки зрения конечной точности геометрии и физических свойств профиля, является режим формообразования, при котором на этапе накатки в заполненных контурах деталь делает 2-3 оборота и непосредственно после этого начинается этап калибрования профиля, путем плавного уменьшения усилия прижима подвижного инструмента.

Начало этапа прокатки в заполненных контурах определяют экспериментально, прокаткой опытной партии. На рис.1 приведена

залежність наружного діаметра резьбового профіля для різних сил прижима подвижного інструмента. Для забезпечення заданого режима формоутворення використовують різноманітні механічні та електромеханічні обмежувачі переміщення подвижного накатного інструмента [2]. Однак, при коливаннях діаметра оброблюваної частини заготовки більше за 10 % дані обладнання виявляються малоекспективними. Крім того, износ та разогрів накатного інструмента, опорних ножів, підвищення температури робочої рідини та наявність у ній повітряних примесей, приводить до необхідності переопределення режимів прокатки в ході процеса.

Для визначення фаз прокатки деталі непосредственно в ході формоутворення запропоновано методику аналізу електрического сопротивлення очага деформації постійному струму величини. Електрическе сопротивлення очага деформації є параметром, що зв'язує механічні показники процеса прокатки з параметрами струмового режима. Повне сопротивлення заготовки складається з двох контактних сопротивлень на переходах валок-заготовка та сопротивленням самої заготовки. Контактне сопротивлення визначається станом контактируючих поверхостей – мікрорельєфом, твердістю та силами на контактируючих поверхнях.

Сопротивлення об'єма деформуемої заготовки можна визначити, виходячи з наступних розглядів: заготовку, яка знаходиться в валках при прокатці, можна представити як циліндр, на який наложено контактні електроди. В ролі електродів можна розглядати при контактні зони у вигляді циліндрів з діаметром, рівним ширині контактної поверхні для деформуемої частини заготовки. Тоді можна записати:

$$R_O = \frac{\rho}{\pi \cdot h l} \cdot \ln \frac{d}{b} \quad (1)$$

де: R_O – сопротивлення об'єма деформуемої частини заготовки, Ом;

ρ – удельне сопротивлення матеріала заготовки Ом·м;

b – ширина контактної поверхні, мм;

d – діаметр прокатуваної частини заготовки;

h – довжина деформуемої частини заготовки, м.

Для аналитического определения контактного сопротивления воспользуемся формулой [3]:

$$R_k = k \cdot \rho \cdot H^{-0.5} \cdot P^{-n} \quad (2)$$

где: R_k – контактное сопротивление, Ом;

k – коэффициент;

H – микротвердость;

P – усилие, действующее в зоне контакта;

n - показатель, зависящий от условий контакта;

ρ - удельное сопротивление.

В зависимости от состояния контактирующих поверхностей (шероховатость, наличие окисных пленок) коэффициент n изменяется в пределах 0.4...0.7. После подстановки параметров процесса: резьба M14x1.25, длина подрезьбовой части $l = 22$ мм, материал Ст.3, микротвердость HB = 120 , получим – $R_O = 0.00043$ Ом, $R_k = 0.0048$ Ом .

Полное сопротивление заготовки как минимум, на порядок больше ее объемного сопротивления, поэтому в практических расчетах можно не принимать во внимание объемное сопротивление заготовки и считать полное сопротивление равным удвоенному контактному сопротивлению (так как в электрическую цепь входит два сопротивления на переходах инструмент-заготовка и заготовка-инструмент).

В ходе формообразования будет происходить постепенное увеличение площади поверхностного контакта заготовки и инструмента, что приведет к падению электрического сопротивления очага деформации.

Экспериментальные исследования указанной зависимости проводили на профиленакатном автомате UPWS-16 с применением тиристорного выпрямителя. Параметры эксперимента: напряжение приложенное к очагу деформации $U = 2...2.2$ В, ток $I = 100...700$ А, материал Ст.3, диаметр заготовки $d_O = 13.18 \pm 5\%$, микротвердость HB = 120, тип накатываемой резьбы: M14x1.25, длина подрезьбовой части $l = 22$ мм. Высоту профиля контролировали дважды: первый раз измеряли наружный диаметр накатанной резьбы механическим

мікрометром с точністю $\Delta = \pm 10$ мкм, потім уточняли отриманий діаметр і форму профіля оптическим резьбомерним мікроскопом типу БМИ-Щ з точністю ± 0.002 мм.

Експеримент проводили в два етапи: в статичному і динамічному режимі.

В першому випадку при зупинених накатних роликах проводили зміну зусилля прижима інструмента і фіксували значення електрического напруження, тока, що протекає через очаг деформації і висоту профілю зуба, що формуються на поверхності заготовки. Токові режими: 350А, 250А, 150А. Об'єм виборки для кожного з режимів 50 деталей, крок підвищення висоти зуба 0.1 мм. Графічна інтерпретація отриманого результату показана на рис.2. Як видно з малюнка для ділянки формування профілю характерний резкий спад сопротивлення з коефіцієнтом для $I = 350$ А, $g \approx 0.017 \dots 0.021$ Ом/мкм.

В другому випадку проводили непосредственную накатку резьбового профілю M14x1.25, довжина резьби $l = 22$ мм, при току, що протекає через очаг деформації 300А і з допомогою самописца типу НЗ27-3 прописували осцилограмми зміну сопротивлення очага деформації. На рис. 3 представлена характерна осцилограмма процесу і позначені ділянка завершення формування висоти профілю (границя прокатки в заповнених і незаповнених контурах). На ділянці графіка, відповідаючому сформованому по висоті профілю, максимальному для використовуваного інструмента, характерно фактически постійното сопротивлення з незначительним його зменшенням за рахунок зниження об'ємного сопротивлення. На загальну картину зміни електрического сопротивлення очага деформації накладаються шуми середніх і високо частотних компонент, що викликані особливостями токоподаючого механізму, біением валкової системи, наявністю смазки в очагу деформації[2].

Висновки:

1. По закономірності зміни активного сопротивлення очага деформації під час накатки, можна косвенно оцінювати фази формування резьбового профілю.

2. Для получения более наглядной картины изменения электрического сопротивления очага деформации необходимо применять низкочастотную фильтрацию с верней частотой соответствующей частоте полезной составляющей (≈ 1.5 Гц для случая рассмотренного в работе).

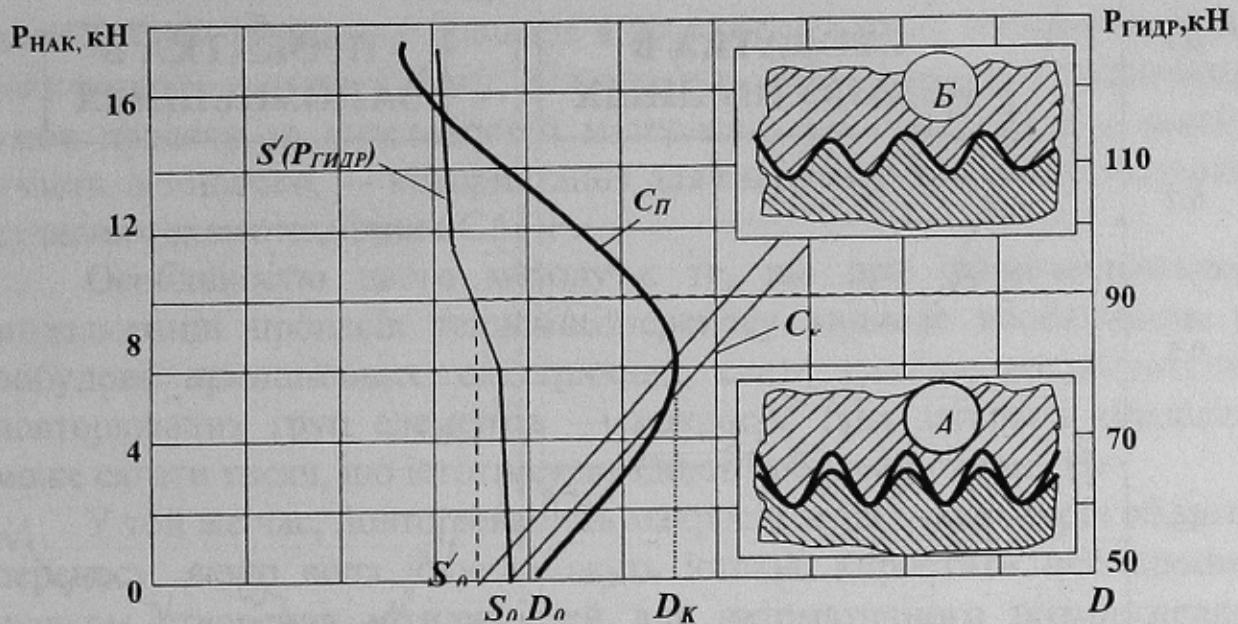


Рисунок 1 - Зависимость высоты профиля от усилия прижима инструмента

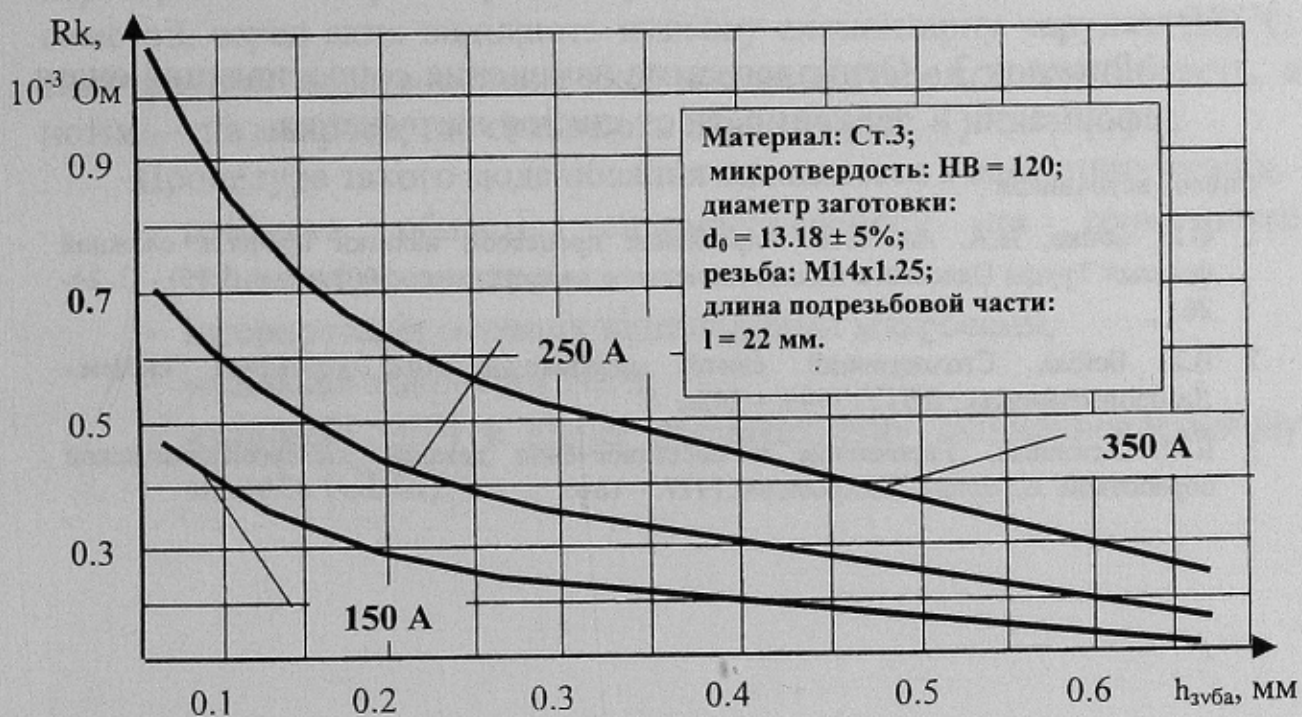


Рисунок 2 – Зависимость сопротивления очага деформации от высоты профиля зуба резьбы

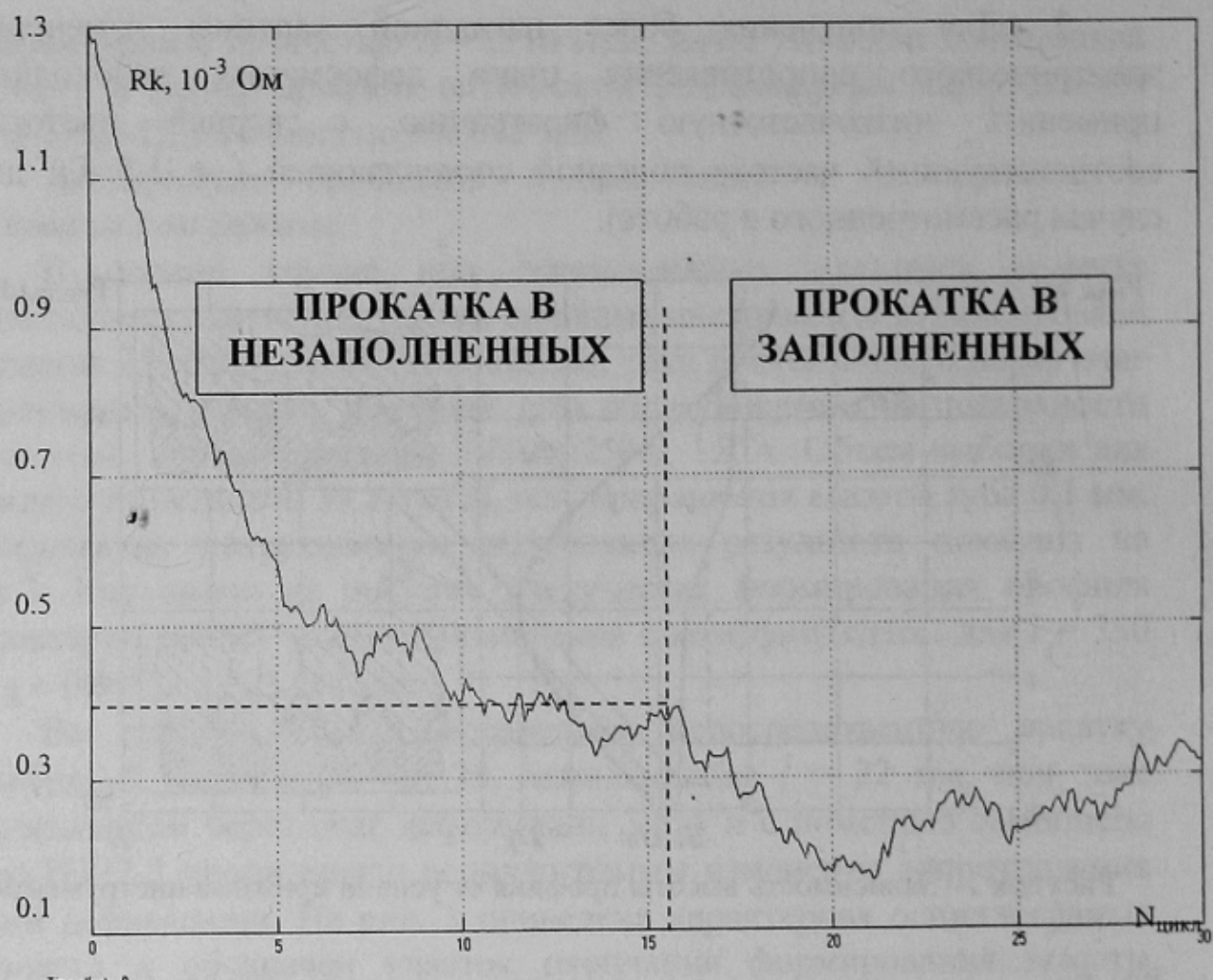


Рисунок 3 - Осциллограмма изменения сопротивления очага деформации в зависимости от циклов нагружения

Список источников

1. В.И. Бойко, И.А. Алексеев. Управление процессом накатки профиля сложной формы// Труды Одесского политехнического университета.-2001.- Вып.3(15).- С. 24-26.
2. В.І. Бойко, Стохастичний синтез перешкодостійких керованих систем.- Дніпродзержинськ; ДДТУ, 1999. – 202с.
3. Б.М. Аскинази, Упрочнение и восстановление деталей электромеханической обработкой. Л., «Машиностроение», 1977. – 184с.